

Полученная в результате исследований информация может быть использована для контроля дефектов сплошности в металлических образцах в режиме импульсной или телевизионной (мониторной) индикации как в случае сквозных отверстий, так и внутренних, скрытых дефектов различных конфигураций, а также при разработке устройств экранирования электромагнитных полей.

УДК 621.315.592

**Расчет поглощения оптического излучения вблизи края
фундаментального поглощения в однородном
электрическом поле**

Бобученко Д.С.

Белорусский национальный технический университет

Электроотражение и электропоглощение оптического излучения от полупроводников и изоляторов является мощным диагностическим инструментом для анализа зонной структуры этих материалов. Для обработки экспериментальных результатов необходимо знание зависимостей коэффициентов отражения и поглощения от напряженности приложенного электрического поля.

В данной работе представлены численные расчеты коэффициента оптического поглощения для прямых экситонных переходов в однородном электрическом поле.

Вблизи края фундаментального оптического поглощения, поле падающего излучения приводит к возбуждению внутри полупроводника электрон-дырочной пары. Притяжение между электроном и дыркой приводит к корреляции их движения, результирующая электрон-дырочная пара называется экситоном. В большинстве полупроводников кулоновское взаимодействие сильно экранируется валентными электронами вследствие большой диэлектрической постоянной. В результате электроны и дырки связаны слабо. Поведение экситонов можно рассчитать в приближении эффективной массы [1]:

$$\left(-\frac{\hbar^2}{2\mu} \nabla^2 - k \frac{e^2}{r} + eFz \right) U(r) = EU(r), \quad (1)$$

где $\mu = m_e m_h / (m_e + m_h)$ - эффективная масса экситона, E - энергия, отсчитываемая от дна зоны проводимости, F - напряженность однородного электрического поля, r - относительная координата. В этом приближении электрон и дырка рассматриваются как две движущиеся частицы с эффективными массами зоны проводимости и валентной зоны. Измеряя энергию в экситонных ридбергах $R = \mu k^2 e^2 / 2h^2$, а расстояния в экситонных боровских радиусах $a = h^2 / (\mu e^2 k)$ уравнение эффективной массы будет иметь вид:

$$\left(-\nabla^2 - \frac{e^2}{r} + fz \right) U(r) = EU(r) \quad (2)$$

здесь напряженность электрического поля выражается как

$$f = \frac{F}{(R/|e|a)}$$

Решение уравнения (2) в параболических координатах может быть записано в виде:

$$U(r) = \frac{\chi_1(u)\chi_2(\eta)}{(u\eta)^{1/2}} e^{im\phi}$$

а функции χ_1 и χ_2 являются решениями уравнений:

$$\frac{d^2 \chi_1}{du^2} + \left(\frac{1-m^2}{4u^2} + \frac{t}{u} + \frac{E}{4} - \frac{fu}{8} \right) \chi_1 = 0 \quad (3a)$$

$$\frac{d^2 \chi_2}{d\eta^2} + \left(\frac{1-m^2}{4\eta^2} + \frac{1-t}{\eta} + \frac{E}{4} + \frac{f\eta}{8} \right) \chi_2 = 0 \quad (3б)$$

Граничные условия для уравнений (3) для ненормированной волновой функции [1,2]

$$\chi_1(u) = u^{(m+1/2)} \left\{ 1 - \frac{ut}{1+|m|} + O(u^2) \right\} \quad \text{при} \quad u \rightarrow 0 \quad (4a)$$

$$\chi_1(u) = \frac{\exp\left[-\frac{2}{3} f^{1/2} \left(-\frac{E}{f} + \frac{u}{2}\right)^{3/2}\right]}{\left[-\frac{E}{f} + \frac{u}{2}\right]^{1/4}} \quad \text{при} \quad u \rightarrow \infty \quad (4б)$$

$$\chi_2(\eta) = \eta^{(m+1/2)} \left\{ 1 - \frac{\eta(1-t)}{1+|m|} + O(\eta^2) \right\} \quad \text{при} \quad \eta \rightarrow 0 \quad (4в)$$

$$\chi_2(\eta) = \frac{A}{\left[\frac{E}{f} + \frac{\eta}{2}\right]^{1/4}} \sin \left\{ \frac{2}{3} f^{1/2} \left(\frac{E}{f} + \frac{\eta}{2} \right)^{3/2} + \gamma \right\} \quad \eta \rightarrow \infty \quad (4z)$$

Коэффициент поглощения может быть записан [1,2]

$$K = \frac{2\pi e^2}{m^2 c \eta' v} |P_{cv}|^2 \sum_{n=0} |U_n(0)|^2 \delta(E - E_n), \quad (5)$$

где $|P_{cv}|$ - матричный элемент электрического дипольного перехода; $U(0)$ - решение уравнения эффективной массы; η' - показатель преломления. В экспериментах представляет интерес часто не само значение коэффициента поглощения, а ее изменение вызванное электрическим полем. Введем "функцию поглощения":

$$\Phi(E, f) = \sum_{n=0} |U_n(0)|^2 \delta(E - E_n) = \left(\frac{2}{\pi^2 f} \right)^{1/2} \sum_{n=0} H_n^{-1} A_n^{-2} \quad (6)$$

$$H_n(E, f) = \int_0^\infty \left[\frac{\chi_1^2(u)}{u} \right] du - \text{фактор нормализации для } \chi_1; A_n - \text{фактор}$$

нормализации для χ_2 . Из правил отбора следует, что решения только с $m=0$ дают вклад в функцию поглощения.

Методика численных расчетов заключалась в следующем: 1) используя численную схему Ньюмера [3], решалось уравнение (3а) с граничным условием (4б) извне внутрь с критерием правильности решения $\chi_1(u) \rightarrow 0$ при $u \rightarrow 0$ и определялись собственные значения t_n , n - мода, число нулей в функции χ_1 ; 2) затем определялся фактор нормализации H_n ; 3) используя численную схему Ньюмера, решалось уравнение (3б) с граничным условием (4в) изнутри. На достаточно расстоянии η , определялось γ и фактор нормализации A_n ; 4) вычислялась функция поглощения $\Phi(E, f)$.

На рисунке 1а приведены собственные значения t в зависимости от энергии при $f=1$ для трех мод. На рисунке 1б представлены обратные факторы нормализации H_n как функция энергии при $f=1$ для различных мод. На рисунке 1в представлены обратные факторы нормализации A_n^{-2} как функция энергии при $f=1$ для различных мод. На рисунке 1г

приведена функция поглощения в зависимости от энергии при $f=1$

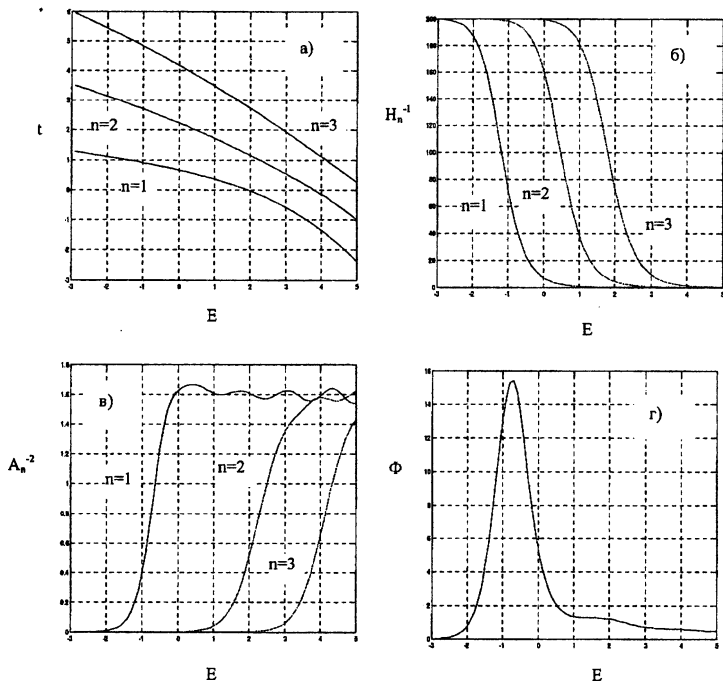


Рис.1. (а) зависимость t от энергии при $f=1$ для трех мод; (б) зависимость $1/H_n$ как функция энергии при $f=1$ для различных мод; (в) зависимость A_n^{-2} от энергии при $f=1$ для различных мод; (г) приведена функция поглощения в зависимости от энергии при $f=1$

Литература

1. Ralph, H.L. On the theory of the Franz-Keldysh effect. J.Phys.C., 1968, 1, 378-386.
2. Fauchier, J., Dow J.D. On analytical approach to the hydrogen Stark effect in weak, strong and ultrastrong fields. Phys.Rev.A, 1974, 9, 98-107.
3. Cooley, J.W. An improved eigenvalue corrector formula for solving the schrodinger equation for central fields. Math. Tabl. Comput., 1961, 15, 363-374.